



Б.18

ИНСТИТУТ ЯДЕРНОЙ ФИЗИКИ СО АН СССР

34

В.Н.Байер, А.И.Мильштейн, Р.Ж.Шайсултанов

РАСЩЕПЛЕНИЕ ФОТОНА
В СИЛЬНОМ ЭЛЕКТРОМАГНИТНОМ ПОЛЕ

ПРЕПРИНТ 85-123



НОВОСИБИРСК

РАСЩЕПЛЕНИЕ ФОТОНА В СИЛЬНОМ ЭЛЕКТРОМАГНИТНОМ ПОЛЕ

В.Н.Байер, А.И.Мильштейн, Р.Ж.Шайсултанов

А Н Н О Т А Ц И Я

Рассмотрен процесс расщепления фотона в сильном электромагнитном поле общего вида (когда оба полевых инварианта отличны от нуля). Найдены явные выражения для всех амплитуд процесса при произвольных значениях параметров. Приведено выражение для сечения процесса в условиях поглощения фотона. Получено представление амплитуд в квазиклассическом приближении. Приведен анализ возможности наблюдения процесса в поле осей монокристалла.

V.N.Baier, A.I.Milstein and R.J.Shaisultanov

Abstract

A process of photon splitting has been considered in the electromagnetic field of general type, when both field invariants do not vanish. A treatment is based on the operator diagram technique. Explicit expressions are found for all amplitudes T of the process for arbitrary values of the parameters (Eqs. (2.16)-(2.18), (2.15), (2.10), (2.11)). In the case when there is only a magnetic or only an electric field the expressions for amplitudes T become comparatively simple (Eq.(3.5)). The expression for the process cross section taking into account photon absorption has been presented (Eqs. (3.2),(3.3)). The representation of amplitudes T in a quasiclassical approximation is given (Eqs. (3.7),(3.8)). The quantities $|T|^2/\omega$ entering the process cross section are shown in Fig.2-4 in the region of its maximum where they are of most interest. Real and imaginary parts of the refractive indices are analysed in the quasiclassical approximation. (Fig.5, Eqs.(3.12)-(3.15)). The analysis of the feasibility of the process observation in the field of the single crystal axes is carried out.

I. Введение

Как известно, виртуальное рождение и аннигиляция электрон-позитронных пар индуцируют нелинейное самодействие электромагнитного поля. Характерным процессом нелинейной квантовой электродинамики является рассеяние света на свете. Во внешних полях становятся возможными также расщепление фотона на два фотона ($\gamma \rightarrow \gamma_1 + \gamma_2$) и отклонение (когерентное рассеяние) фотона ($\gamma \rightarrow \gamma'$). Для малых энергий фотона ($\omega \ll m$) процесс расщепления может быть рассмотрен с использованием эффективного лагранжиана Гейзенберга-Эйлера (см. напр., [1], §§ 129, 130). Для произвольных энергий фотона и напряженностей поля необходимо проводить точный (по полю) расчет. Расщепление фотона в постоянном и однородном внешнем поле рассматривалось в работах [2-6], там же имеются ссылки на более ранние работы, оказавшиеся ошибочными. В работе Билянских-Бируля [2] и Адлера и др. [3] расщепление фотона рассмотрено с применением эффективного лагранжиана Гейзенберга-Эйлера, в [3] получены также правила отбора по поляризациям, в частности с учетом дисперсии. Адлер [4] провел детальный анализ процесса во внешнем магнитном поле и получил амплитуду разрешенного перехода для общего случая произвольной энергии фотона, выражение для этой амплитуды оказалось очень громоздким, что затрудняет ее дальнейшее использование. В рассмотрении использовалась функция Грина электрона во внешнем магнитном поле в представлении собственного времени Швингера [7]. Папанян и Ритус [5,6] провели рассмотрение расщепления фотона в т.н. скрещенном поле $E \perp H$, $E = H$, также с использованием функции Грина электрона в представлении собственного времени.

В общем случае вероятность расщепления фотона зависит от трех безразмерных инвариантов ^{**)}

$$\frac{E}{E_0} = \frac{e}{m^2} (\sqrt{F^2 + \omega^2} - F)^{1/2}, \quad \frac{H}{H_0} = \frac{e}{m^2} (\sqrt{F^2 + \omega^2} + F)^{1/2},$$

$$\Delta\epsilon = \frac{e}{m^3} \sqrt{|F_{\mu\nu} K^\nu|^2}$$
(I.1)

**) Используется система единиц $\hbar = c = 1$, метрика: $a\bar{b} = a^0\bar{b}^0 - \vec{a}\cdot\vec{b}$, $\alpha = e^2/4\pi$, m — масса электрона.

где $\mathcal{F} = -\frac{1}{4} F_{\mu\nu} F^{\mu\nu} = \frac{1}{2} (\vec{E}^2 - \vec{H}^2)$;

$$\mathcal{G} = -\frac{1}{4} F_{\mu\nu}^* F^{\mu\nu} = (\vec{E} \cdot \vec{H}), \quad F_{\mu\nu}^* = \frac{1}{2} \epsilon_{\mu\nu\alpha\beta} F^{\alpha\beta}; \quad (I.2)$$

есть полевые инварианты; E_0, H_0 — критическое поле квантовой электродинамики

$$H_0 = \frac{m^2}{e} = 4,41 \cdot 10^{13} \text{ э}, \quad (I.3)$$

$$E_0 = \frac{m^2}{e} = 1,32 \cdot 10^{16} \text{ В/см}$$

Поля E и H в (I.1) есть электрическое и магнитное поле в специальной системе отсчета, где $\vec{E} \parallel \vec{H}$. Если инварианты $H/H_0, E/E_0$ малы по сравнению с единицей и зависящим от энергии фотона инвариантам α , то ими можно пренебречь, что эквивалентно переходу к случаю скрещенного поля (или квазиклассическому приближению, см. [8], стр. 68). Для применимости результатов, полученных в постоянном и однородном поле, необходимо, чтобы поле мало менялось на длине (за время) формирования процесса. Для рассматриваемого процесса длина формирования [8]

$$l_f \sim \min \left(\frac{1}{m E}, \frac{1}{m H} \right) \quad (I.4)$$

Расщепление фотона в кулоновском (существенно неоднородном) поле рассмотрено в работе [9].

В настоящей работе получено общее выражение для амплитуды расщепления фотона на два фотона в постоянном и однородном внешнем электромагнитном поле при любых значениях инвариантов (I.1). Для этого использована операторная диаграммная техника, развитая Катковым, Страховенко и одним из авторов [10]. Оказалось, что решение этой (технически весьма громоздкой) задачи тогда удается существенно упростить. Полученные амплитуды в частном случае $\mathcal{G} = 0$, когда есть только магнитное (или электрическое) поле оказались заметно более компактными, чем найденные в [4]. Более того, общий ответ также компактней, чем приведенный в [4].

Обсуждаемый процесс представляет не только общетеоретический интерес. Имеется ряд конкретных предложений по его наблюдению. В работах [3, 4] он рассматривался как возможный механизм

образования линейно поляризованных фотонов в полях пульсаров (при условии, что поля пульсаров $H \sim H_0$). Предлагалось также наблюдать этот процесс при взаимодействии жестких (десятки ГэВ) фотонов с лазерной волной [5]. В этой работе анализируется еще одна возможность — наблюдение расщепления фотона в полях осей (или плоскостей) монокристалла. К настоящему времени довольно детально исследовано рождение электрон-позитронных пар фотонами большой энергии (см., напр., [11]), где установлено, что если угол влета фотона (угол между импульсом \vec{k} и осью) $\vartheta_0 \ll V_0/m$, где V_0 — масштаб потенциала оси, то применимо приближение постоянного поля. Выполнен уже первый эксперимент по рождению пар в поле оси [12]. Точно также, хотя с вероятностью параметрически в $(\alpha/\pi)^2$ раз меньшей, будет идти процесс расщепления фотона. Поскольку поля осей в монокристаллах составляют $10^{10} + 10^{11} \text{ В/см}$, то для достижения $\alpha \gtrsim 50$ (где эффект максимальен) необходимы энергии фотонов масштаба 100 — 1000 ГэВ.

П. Вычисление амплитуды расщепления фотона

Рассмотрим амплитуду расщепления фотона ($K \rightarrow K_1 + K_2$) в постоянном и однородном электромагнитном поле $F_{\mu\nu}$, для которого $K = K_1 + K_2$, на массовой оболочке $K^2 = K_1^2 = K_2^2 = 0$, $K = (\omega, \vec{k})$ и т.д. Стого говоря, во внешнем электромагнитном поле имеет место дисперсия, иными словами фотон приобретает массу, зависящую от его поляризации. Эта масса определяется из поляризационного оператора в данном поле (см. [13, 10]). Однако приобретаемая масса оказывается малой и оказывается фактически на правилах отбора по поляризации. Этот вопрос будет проанализирован ниже. В силу сказанного, анализ можно проводить (ср. [1-5]) на массовой оболочке в т.н. коллинеарном приближении ($K \parallel K_1 \parallel K_2$); тогда полезно ввести единичный вектор ($\lambda^2 = 1, \lambda^2 = 0$)

$$\lambda = \frac{K}{\omega} = \frac{K_1}{\omega_1} = \frac{K_2}{\omega_2} \quad (2.1)$$

Рассмотрение удобно выполнить в специальной системе отсчета, где $\vec{H} \parallel \vec{E}$ (значение полей E и H в этой системе даются формулами (I.1), (I.2)). Выберем общее направление этих векторов в качестве оси 3 декартовой системы координат. Тогда тензор поля может быть представлен в виде (см. [14]):

$$F_{\mu\nu} = C_{\mu\nu} E + B_{\mu\nu} H \quad (2.2)$$

Здесь

$$C_{\mu\nu} = g_\mu^0 g_\nu^3 - g_\mu^3 g_\nu^0, \quad B_{\mu\nu} = g_\mu^2 g_\nu^2 - g_\mu^2 g_\nu^2, \quad (2.3)$$

где $\mathcal{G}_{\mu\nu}$ — метрический тензор.

Мы используем операторную диаграммную технику, развитую в работе [10]. Амплитуду процесса в низшем порядке теории возмущений по взаимодействию с фотонами, изображаемую диаграммой на рис. I, где двойная линия есть пропагатор электрона во внешнем поле, запишем в виде *)

$$T_L = -e^3 Sp \langle 0 | \hat{e} \frac{\hat{L}}{\hat{P}-m} \hat{e}_1^* \frac{\hat{L}}{\hat{P}+\hat{k}_1-m} \hat{e}_2^* \frac{\hat{L}}{\hat{P}+\hat{k}_2-m} | 0 \rangle \quad (2.4)$$

где $\hat{P} = \gamma^\mu (i\partial_\mu - eA_\mu)$, A_μ — вектор-потенциал внешнего поля, $e'' = e''(k)$, $e''(k_\mu) = e''_n$ — вектора поляризации фотонов. К амплитуде (2.4) надо добавить амплитуду $T_2 = T_L(k_1 \leftrightarrow k_2, e_1 \leftrightarrow e_2)$, $T = T_L + T_2$. В рамках используемого подхода основная задача состоит в вычислении среднего по состояниям $\langle 0 | \dots | 0 \rangle$, содержащего внутри совокупность некоммутирующих операторов \hat{P}_μ , а процедура вычисления основывается на замкнутости алгебры операторов $[\hat{P}_\mu, \hat{P}_\nu] = -ie F_{\mu\nu}$. Однако непосредственное применение правил операторной диаграммной техники [10] к вычислению амплитуды (2.4) приводит к чрезвычайно громоздким выражениям. Поэтому существенным элементом этой работы является преобразование выражения (2.1). Проведем квадрирование электронных пропагаторов и используем тождества $\hat{e}_2^* (\hat{P} + \hat{k}_2 + m) = -(\hat{P} + \hat{k}_2 - m) \hat{e}_2^* + \hat{e}_2^* \hat{k}_2 + 2(\hat{e}_2^* \hat{P}) + 2(\hat{e}_2^* k_2)$, $\hat{e}_1^* (\hat{P} + \hat{k}_1 + m) = -(\hat{P} - m) \hat{e}_1^* + \hat{e}_1^* \hat{k}_1 + 2(\hat{e}_1^* \hat{P})$ $\quad (2.5)$

тогда амплитуда (2.4) записывается в виде:

$$T_L = -e^3 Sp \left[\langle 0 | \hat{e} \frac{\hat{P}}{\hat{P}^2 - m^2} (\hat{e}_1^* \hat{k}_1 + 2(\hat{e}_1^* \hat{P})) \frac{\hat{L}}{(\hat{P} + \hat{k}_1)^2 - m^2} \cdot (\hat{e}_2^* \hat{k}_2 + 2(\hat{e}_2^* \hat{P})) \frac{1}{(\hat{P} + \hat{k}_2)^2 - m^2} | 0 \rangle - \langle 0 | \hat{e} \frac{\hat{P}}{\hat{P}^2 - m^2} \frac{1}{\hat{e}_1^* \hat{e}_2} \frac{1}{(\hat{P} + \hat{k})^2 - m^2} | 0 \rangle \right]$$

*) Заметим, что формула (2.1) в [10] выписана для случая, когда все фотоны являются входящими, фактор $(2\pi)^{-4}$ мы включили в определение среднего $\langle 0 | \dots | 0 \rangle$.

$$- \langle 0 | \hat{e} \hat{e}_1^* \frac{1}{\hat{P}^2 - m^2} (\hat{e}_2^* \hat{k}_2 + 2(\hat{e}_2^* \hat{P})) \frac{1}{(\hat{P} + \hat{k}_2)^2 - m^2} | 0 \rangle, \quad (2.6)$$

где опущены члены с нечетным числом, γ — матрица, учтено, что в коллинеарном приближении $\hat{e}_i \hat{k}_j = 0$.

Целью проведенного преобразования было уменьшение числа γ -матриц в членах с оператором \hat{P}_μ в числителе, которые дают наиболее громоздкий вклад в амплитуду процесса. В результате выражение для амплитуды (2.6), несмотря на кажущееся усложнение, заметно упростилось и дальнейшие вычисления можно проводить непосредственно с помощью правил диаграммной техники [10].

Приведем явные выражения для средних встречающихся в настоящем расчете после проведения экспоненциальной параметризации пропагаторов

$$(N, N_\mu, N_{\mu\nu}, N_{\mu\nu\nu}) = \langle 0 | (1, \hat{P}_\mu, \hat{P}_\mu \hat{P}_\nu, \hat{P}_\mu \hat{P}_\nu \hat{P}_\lambda) \Theta | 0 \rangle \quad (2.7)$$

где

$$\Theta = e^{i \hat{P}_{S_1}^2} e^{i (\hat{P} + \hat{k}_1)^2 S_2} e^{i (\hat{P} + \hat{k})^2 S_3} \quad (2.8)$$

Введем обозначения, позволяющие заметно упростить запись выражений:

$$y = eE t_3, \quad y_{1,2} = eE(2t_{1,2} - t_3), \quad y_3 = y + y_1 - y_2; \quad (2.9)$$

$$x = eH t_3, \quad x_{1,2} = eH(2t_{1,2} - t_3), \quad x_3 = x + x_1 - x_2;$$

где $t_1 = S_1$, $t_2 = S_1 + S_2$, $t_3 = S_1 + S_2 + S_3$. Величина N была вычислена в [10] (2.43), (2.47)

$$N = -iR e^{i\psi}, \quad R = R_E R_H, \quad R_E = \frac{eE}{4\pi Shy}, \quad R_H = \frac{eH}{4\pi s \sin x}; \quad (2.10)$$

здесь фаза $\psi = \psi_E + \psi_H$,

$$\psi_E = \frac{\sigma^2}{2eEshy} \left[(\omega^2 - \omega_1 \omega_2) \sin y - \omega \omega_1 \sin y_1 - \omega \omega_2 \sin y_2 + \omega_1 \omega_2 \sin y_3 \right], \quad (2.11)$$

$$\psi_H = \frac{\sigma^2}{2eH \sin x} \left[(\omega^2 - \omega_1 \omega_2) \cos x - \omega \omega_1 \cos x_1 - \omega \omega_2 \cos x_2 + \omega_1 \omega_2 \cos x_3 \right],$$

$$\text{где } \sigma^2 = \lambda C^2 \lambda = \lambda B^2 \lambda = 1 - \lambda_z^2.$$

Величины N_μ , $N_{\mu\nu}$, $N_{\mu\nu\lambda}$ выражаются через N согласно формулам (2.26) – (2.28), (2.14), (2.46) [10]

$$N_\mu = Q_\mu N, \quad N_{\mu\nu} = [Q_\mu Q_\nu - i U_{\nu\mu}^{-1}] N,$$

$$N_{\mu\nu\lambda} = [Q_\mu Q_\nu Q_\lambda - i Q_\mu U_{\lambda\nu}^{-1} - i Q_\nu U_{\lambda\mu}^{-1} - i Q_\lambda U_{\nu\mu}^{-1}] N;$$

$$Q_\mu = -[U^{-1}(U(t_3-t_1)k_1 + U(t_3-t_2)k_2)]_\mu, \quad (2.12)$$

$$U \equiv U(t_3), \quad U(s) = \frac{e^{-2esF_s} - 1}{esF}$$

Процедура вычисления амплитуды (2.6) состоит в экспоненциальной параметризации электронных пропагаторов, преобразовании выражений с использованием формул

$$e^{isP^2} e^{-isP^2} = (e^{-2esF_s} P)_\mu, \quad e^{\frac{i}{2}esF_s} e^{-\frac{i}{2}esF_s} = (\gamma e^{2esF_s})_\mu, \quad (2.13)$$

где $\sigma F = \sigma^{\mu\nu} F_\mu^\nu$, $\sigma^{\mu\nu} = \frac{i}{2} [\gamma^\mu, \gamma^\nu]$, вычислении следов матриц и последующей подстановки формул (2.7)–(2.12). Второй и третий член в (2.6) содержит только два электронных пропагатора и соответствующие формулы можно получить из общей, обратив в нуль один из параметров s_μ .

Для вычисления амплитуды расщепления фотона для случая произвольных поляризаций достаточно найти две амплитуды:

$$T_{B \rightarrow CC} : e_\mu = \frac{(\lambda B)_\mu}{\sigma}, \quad e_{1\mu} = e_{2\mu} = \frac{(\lambda C)_\mu}{\sigma}; \quad (2.14)$$

$$T_{C \rightarrow CC} : e_\mu = e_{1\mu} = e_{2\mu} = \frac{(\lambda C)_\mu}{\sigma};$$

все остальные амплитуды получаются из этих с помощью замен частот и полей:

$$T_{C \rightarrow BC} = T_{B \rightarrow CC} (\omega \leftrightarrow -\omega_1), \quad (2.15)$$

$$T_{C \rightarrow BB} = T_{B \rightarrow CC} (E \leftrightarrow iH, \sigma \rightarrow i\sigma),$$

$$T_{B \rightarrow BC} = T_{C \rightarrow BB} (\omega \leftrightarrow -\omega_2),$$

$$T_{B \rightarrow BB} = T_{C \rightarrow CC} (E \leftrightarrow iH, \sigma \rightarrow -i\sigma).$$

В результате довольно громоздких вычислений получаем для амплитуды

$$T_{(B \rightarrow CC)} = -4ie^3 \sigma^3 \int_0^\infty dt_3 \int_0^{t_3} dt_2 (-iR) e^{-im^2 t_3} \quad (2.16)$$

$$\left\{ \int_0^{t_2} dt_1 e^{i\Psi} I_{(B \rightarrow CC)}^{(0)} + \frac{2i}{\sigma^2} I_{(C \rightarrow CC)}^{(0)} \right\},$$

где для перехода $B \rightarrow CC$

$$I_{B \rightarrow CC} = \frac{1}{\sin \alpha} [(\omega_1 \cos x_1 + \omega_2 \cos x_2) \cos \alpha - \omega] \left[\frac{2ieE \operatorname{ch} y_3}{\sigma^2} \operatorname{ch} y_3 + g \omega_2 \omega_1 \right] + \omega (\omega_1^2 f_1 + \omega_2^2 f_2) + \omega \omega_1 \omega_2 f_3 + \omega_1 \omega_2 (\omega_1 \cos x_1 + \omega_2 \cos x_2) \operatorname{ch} y_3 \sin(x_2 - x_1);$$

$$I_{B \rightarrow CC}^0 = \frac{1}{\sin \alpha} \omega \operatorname{ch} y_3 \sin \frac{x_1}{2} (x_1 - x_2) e^{i\Psi(\omega)}, \quad \Psi(\omega) = \Psi_1^E(\omega) + \Psi_1^H(\omega), \quad \Psi_1^E = \frac{\sigma^2 \omega^2 (\operatorname{ch} y_1 - \operatorname{ch} y_2)}{2eE \operatorname{sh} y_1}, \\ \Psi_1^H = \frac{\sigma^2 \omega^2 (\cos x_1 - \cos x_2)}{2eH \sin \alpha}; \quad f_1 = \frac{(\operatorname{ch} y_3 - \operatorname{ch} y_2)}{\operatorname{sh} y_1} \left[\frac{\sin x_1 \operatorname{sh} y_1}{\sin x_2 \operatorname{sh} y_2} + \frac{(1 - \cos x_1 \cos x_2)(1 - \operatorname{ch} y_1 \operatorname{ch} y_2)}{\sin x_1 \sin x_2} \right],$$

$$f_2 = f_1 (x_1 \leftrightarrow x_2, y_1 \leftrightarrow y_2), \quad f_3 = \sin x_2 \operatorname{ch} y_1 + \frac{\sin x_1 \operatorname{sh} y_1}{\operatorname{sh} y_2} \operatorname{ch} y_1 (\operatorname{ch} y_1 - \operatorname{ch} y_2) + \frac{(\operatorname{ch} y_3 - \operatorname{ch} y_2)}{\sin x_1 \sin x_2} (1 - \cos x_1 \cos x_2) (1 - \operatorname{ch} y_1 \operatorname{ch} y_2) + \text{члены } (x_1 \leftrightarrow -x_2, y_1 \leftrightarrow -y_2),$$

$$g = \frac{1}{\operatorname{sh}^2 y} [2 \operatorname{ch} y_3 - \operatorname{ch} y_1 (1 + \operatorname{ch}^2 y_3)] + \operatorname{ch} y_3 \cos(x_2 - x_1); \quad (2.17)$$

а для перехода $C \rightarrow CC$

$$I_{C \rightarrow CC} = \omega \omega_1 \omega_2 (\operatorname{sh} y_1 \cos x_1 + \frac{\cos x_3 \operatorname{sh} (y_2 - y_1)}{2 \operatorname{ch} y_1}) + \frac{1}{\operatorname{sh} 2y} [\operatorname{ch} y_1 (\omega_1 \operatorname{ch} y_1 + \omega_2 \operatorname{ch} y_2) - \omega] [\cos x_1 \operatorname{ch} y_1 (\omega_1 \omega_2 + h_1 h_2) - \omega_1 \omega_2 \cos x_3 \operatorname{ch} y_3 - 2 \omega_1 h_1 \cos x_1 \operatorname{sh} y_1] + \omega \omega_1 (\cos x_1 \operatorname{ch} y_1 - \frac{\cos x_1}{\operatorname{ch} y_1}) - 2ieE \omega_1 \frac{\cos x_1}{\operatorname{sh} y_1} (\operatorname{ch} y_3 - \operatorname{ch} y_2).$$

$\cdot (2 \operatorname{ch} \omega_1 y_1 - 1) + \text{члены } (\omega_1 \leftrightarrow -\omega_2, y_1 \leftrightarrow -y_2, \omega_1 \leftrightarrow \omega_2);$

$$I_{C \rightarrow CC}^{(0)} = \frac{\cos \alpha}{\sinh y} \sin^2 \frac{1}{2}(y-y_1) \left(\omega e^{i\psi_1(\omega)} - \omega_1 e^{i\psi_1(\omega_1)} - \omega_2 e^{i\psi_1(\omega_2)} \right),$$

$$h_1 = \frac{1}{\sinh y} (\omega_1 \operatorname{ch} y + \omega_2 \operatorname{ch} y_1 - \omega \operatorname{ch} y_2),$$

$$h_2 = \frac{1}{\sinh y} (\omega_1 \operatorname{ch} y + \omega_2 \operatorname{ch} y_2 - \omega \operatorname{ch} y_1). \quad (2.18)$$

Амплитуды (2.16)-(2.18) с учетом соотношений (2.15) исчерпывают задачу о расщеплении фотона в однородном и постоянном электромагнитном поле при произвольных значениях инвариантов (I.I).

Перейдем к обсуждению дисперсионных эффектов, обусловленных появлением у фотона массы во внешнем поле. Распространение фотона во внешнем поле описывается уравнением Дайсона, которое мы запишем в форме

$$(K_{(\lambda)}^e g_{\mu\nu} - \Pi_{\mu\nu}) e_{(\lambda)}^\nu = 0 \quad (\lambda = I, II, III, IV) \quad (2.19)$$

где $e_{(\lambda)}^\nu$ - соответствующие векторы поляризации, $K_{(\lambda)}^e$ - масса фотона, $\Pi_{\mu\nu}$ - поляризационный оператор в данном поле. Решение этого уравнения, соответствующее физическим поляризациям, можно представить в виде

$$e_I^\nu = \frac{1}{\sqrt{1+\alpha^2}} ((\lambda B)^\nu + \alpha(\lambda C)^\nu), \quad (2.20)$$

$$e_{II}^\nu = \frac{1}{\sqrt{1+\alpha^2}} (-\alpha(\lambda B)^\nu + (\lambda C)^\nu)$$

где явные выражения для $K_{I,II}^e$ и α приведены в [10]. Отметим, что когда имеется только магнитное поле ($E = 0$), то $\alpha \rightarrow 0$, а когда только электрическое ($H = 0$), то $\alpha \rightarrow \infty$.

$$E=0 \quad e_I^\nu = (\lambda B)^\nu, \quad e_{II}^\nu = (\lambda C)^\nu; \quad (2.21a)$$

$$H=0 \quad e_I^\nu = (\lambda C)^\nu, \quad e_{II}^\nu = -(\lambda B)^\nu. \quad (2.21b)$$

В коллинеарном приближении вероятность процесса расщепления фотона в единицу времени выражается через его амплитуду следующим образом (до порога рождения пар):

$$dW = \frac{L}{32\pi} |T|^2 \frac{d\omega_L}{\omega^2} \mathcal{D} \left(\frac{\kappa^2}{\omega} - \frac{\kappa_1^2}{\omega_1} - \frac{\kappa_2^2}{\omega_2} \right) \quad (2.22)$$

Правила отбора по поляризациям следуют, в частности, из входящей в это выражение \mathcal{D} -функции. Принято использовать показатель преломления n , определяемый соотношением

$$K_{(\lambda)}^2 = \omega^2 (1 - n_{(\lambda)}^2) \quad (2.23)$$

тогда для разрешенных переходов должно выполняться соотношение

$$\omega_1 n_1^2 + \omega_2 n_2^2 - \omega n^2 \geq 0 \quad (2.24)$$

Здесь n_1 и n_2 показатели преломления для частот ω_1 и ω_2 , зависящие от поляризации фотона.

Приведем еще асимптотики амплитуд (2.16)-(2.18) для относительно слабых полей и малых энергий фотонов:

$$T_{B \rightarrow CC} = a_0 \sigma^3 H (13H^2 - 2E^2), \quad (2.25)$$

$$T_{C \rightarrow CC} = a_0 \sigma^3 E (39H^2 + 24E^2), \quad a_0 = \frac{e^6 \omega \omega_1 \omega_2}{315 \pi^2 m^8}$$

Остальные амплитуды получаются из этих с помощью правил (2.15). В магнитном поле ($E = 0$) эти амплитуды переходят в найденные в работе [3]. Как отмечалось, при анализе процесса следует использовать физические поляризации (2.20). В рассматриваемом случае $e_I \sim F\lambda$, $e_{II} \sim F^*\lambda$ и, если от амплитуд (2.25) перейти к амплитудам в терминах e_I , e_{II} , то получим

$$T_{I \rightarrow II} = 13a_0 \left(\frac{\alpha}{\omega} \right)^3, \quad T_{I \rightarrow II} = 24a_0 \left(\frac{\alpha}{\omega} \right)^3 \quad (2.26)$$

где α определено в (I.I), эти формулы справедливы при $\alpha \ll 1$.

Наконец, если подставить асимптотики амплитуд в выражение для вероятности (2.22) (без учета \mathcal{D} -функции!), усреднить по

поляризациям начальных фотонов и просуммировать по поляризациям конечных, то получим выражение для вероятности, содержащееся в [2], [5].

III. Расщепление фотона в магнитном или электрическом поле

Перейдем к обсуждению важного частного случая, когда имеется только магнитное поле ($\vec{E} = 0$), или только электрическое поле ($\vec{H} = 0$). Как известно [1, 3], в магнитном поле имеется два типа правил отбора. Первый тип обусловлен СР инвариантностью электромагнитного взаимодействия. В терминах поляризаций (2.21а) (при $\vec{E} = 0$) СР разрешенными переходами являются

$$e_I \rightarrow e_{\underline{I}} e_{\overline{I}}, \quad e_I \rightarrow e_{\underline{I}} e_{\underline{I}}, \quad e_{\underline{I}} \rightarrow e_I e_{\overline{I}} \quad (3.1)$$

Три других перехода (например, $e_{\underline{I}} \rightarrow e_I e_{\underline{I}}$) запрещены. Эти правила отбора справедливы, естественно, при любых энергиях. Второй тип связан с выполнением условия (2.24). В области применимости рассмотрения с использованием эффективного лагранжиана в [1-3] показано, что из переходов (3.1) соотношение (2.24) удовлетворяет только переход $e_I \rightarrow e_{\underline{I}} e_{\overline{I}}$. С использованием дисперсионных соотношений в [4] показано, что этот вывод сохраняется при всех $\omega < 2m$. При $\omega > 2m$ открывается канал рождения пар фотоном во внешнем поле. Это приводит к тому, что показатель преломления (см. (2.23)) приобретает минимую часть. В результате пространственная компонента волнового вектора фотона приобретает отрицательную минимую часть и падающая волна затухает по мере распространения в поле. В силу этого интеграл по координате вдоль \vec{k} следует брать в конечных пределах и имеет смысл говорить о вероятности расщепления фотона после прохождения длины l в поле $dW(l)$ (анализ этих вопросов содержится также в [6]). Выражение для $dW(l)$, которое следует теперь использовать вместе с (2.22) имеет вид

$$dW(l) = \frac{l}{32\pi} |\Gamma|^2 \frac{d\omega_1}{\omega^2} g(l) \quad (3.2)$$

где

$$g(l) = \frac{1}{\pi} \int_0^\infty \frac{x + e^{-2\gamma l} - 2e^{-\gamma l} \cos((\beta-x)l)}{\gamma^2 + (\beta-x)^2} dx \quad (3.3)$$

$$\beta = \operatorname{Re} \left(\frac{\kappa^2}{\omega} - \frac{\kappa_1^2}{\omega_1} - \frac{\kappa_2^2}{\omega_2} \right), \quad \gamma = -\operatorname{Im} \left(\frac{\kappa^2}{\omega} + \frac{\kappa_1^2}{\omega_1} + \frac{\kappa_2^2}{\omega_2} \right).$$

В пределе, когда $\gamma l \ll 1, \beta l \gg 1$ (поглощение фотона пренебрежимо мало, эффект рассматривается на больших длинах l) $g(l) \rightarrow l \vartheta(\beta)$ и тогда $dW(l) = l dW$ (см. (3.2) и (2.22)) в соответствии с определением dW как вероятности процесса на единицу длины (времени). В другом предельном случае $\gamma l \gg 1$ (эффект в условиях сильного поглощения)

$$g(l) = \frac{1}{\beta \gamma} \left(\frac{\beta}{2} + \arctg \frac{\beta}{\gamma} \right) \quad (3.4)$$

и в пределе $|\beta/\gamma| \rightarrow \infty$ $g(l) \rightarrow \frac{l}{\gamma} \vartheta(\beta)$. Отсюда видно, что только в пределе $\gamma \rightarrow 0$ функция $g(l) \approx \vartheta(\beta)$ и имеют место правила отбора, основанные на неравенстве (2.24). В общем же случае функция $g(l) \neq 0$ не зависит от знака β и, следовательно, возможны все переходы (3.1).

Амплитуды расщепления фотона, справедливые при любых полях H и энергиях фотона ω , следуют из (2.17), (2.18), (2.15), если там проделать переход $E \rightarrow 0$ (естественно, что более простой вывод следует из (2.6), если туда непосредственно подставить средние (2.7), (2.12), вычисленные в магнитном поле). Для получения явного вида амплитуд в магнитном поле следует в (2.16) подставить (см. (2.10), (2.17)).

$$R \rightarrow \frac{1}{4\pi} R_H, \quad \psi \rightarrow \psi_H + \psi_0, \quad \psi_0 = \frac{\sigma^2}{t_3} [\omega \omega_1 t_1 (t_1 - t_3) + \omega \omega_2 t_2 (t_2 - t_3) - \omega_1 \omega_2 (t_1 - t_2)(t_1 - t_2 + t_3)] ;$$

для перехода $I \rightarrow \underline{II} \overline{II}$:

$$I_{B \rightarrow CC} \rightarrow I_{I \rightarrow \underline{II} \overline{II}}^H = \frac{2i}{\sigma^2 t_3 \sin \alpha} [\cos \alpha (\omega_1 \cos \alpha_1 + \omega_2 \cos \alpha_2) - \omega] + \frac{4\omega_1 \omega_2}{\sin \alpha} \sin^2 \frac{1}{2}(\alpha_2 - \alpha_1) [\omega_1 \sin^2 \frac{1}{2}(\alpha_1 + \alpha_3) + \omega_2 \sin^2 \frac{1}{2}(\alpha_2 + \alpha_3)], \quad (3.5)$$

$$\psi_I(\omega) \rightarrow \frac{\sigma^2 \omega^2 t_2 (t_3 - t_2)}{t_3} + \psi_I^H(\omega),$$

в $I_{\theta \rightarrow CC}^0$ надо положить $\alpha_H = 1$. Полученное выражение существенно проще, чем приведенное в работе Адлера [4] (формула (2.5)). Амплитуда перехода $\text{II} \rightarrow \text{I}\bar{\text{II}}$ T_{II}^H следует из (3.5) заменой: $T_{\text{II}}^H = T_{\text{II}}^H (\omega \leftrightarrow -\omega_L)$ (см. (2.15)), а амплитуда перехода $\text{I} \rightarrow \text{I}\bar{\text{II}}$ следует из $T_{C \rightarrow CC}$ (2.16), (2.18): $T_{\text{I} \rightarrow \text{I}\bar{\text{II}}}^H = T_{C \rightarrow CC}^0 (E \leftrightarrow iH, \sigma \rightarrow i\sigma)$. после чего следует положить $E = 0$

В случае, когда имеется только электрическое поле ($H=0$), в терминах поляризаций (2.21б) СР разрешенными остаются переходы (3.1). Амплитуда перехода $T_{\text{I} \rightarrow \text{I}\bar{\text{II}}}^E$ следует из (3.5) заменой ($E \rightarrow iH, \sigma \rightarrow i\sigma$), амплитуда $\text{II} \rightarrow \text{I}\bar{\text{II}}$ получается из $T_{\text{I} \rightarrow \text{I}\bar{\text{II}}}^E$ с помощью замены ($\omega \leftrightarrow -\omega_L$), а амплитуда перехода $T_{\text{I} \rightarrow \text{I}\bar{\text{II}}}^E$ получается из (2.16), если $R \rightarrow \frac{1}{4\pi} RE$, $\psi \rightarrow \psi_E + \psi_0$, в (2.18) следует проделать переход $H \rightarrow 0$ (все $\cos \alpha$, $\cos \alpha_n \rightarrow 1$).

Вычисления с применением полученных амплитуд T^H (T^E), ввиду их сравнительной простоты, оказывается не слишком сложным и они могут быть использованы для расчета расщепления фотона при $H \sim H_0, E \sim E_0$ и $\omega \gg 2m$

В этой работе мы хотим проанализировать расщепление фотона в монокристаллах. Учитывая, что $H = 0$ и $\vec{R} \perp \vec{E}$ имеем из (1.1)

$$\alpha \Rightarrow \frac{\omega}{m} \frac{E}{E_0} \quad (3.6)$$

где E – электрическое поле на данном расстоянии от оси (плоскости). Как уже отмечалось, для достижения области $\alpha \gg 1$, где эффект расщепления максимальен, энергии фотона должны быть очень велики $\omega \gg m$. Таким образом, мы должны рассмотреть квазиклассическое приближение в электрическом поле. Проведя стандартные разложения (см., напр., [14]) в амплитудах T^H или T^E имеем для амплитуд в квазиклассическом приближении:

$$T_Q = \frac{e^3}{4\pi^2 m} \alpha \int_0^\infty dt \int_0^t dt_2 \left[\int_0^{t_2} dt_1 e^{i\varphi_Q} I_Q + I_Q^{(0)} e^{i\varphi_Q} \right], \quad (3.7)$$

$$\varphi_Q = -t + \varphi, \varphi = -\frac{\alpha^2 t^3}{3} \left[\nu_1 t_1^2 (t-t_1)^2 + \nu_2 t_2^2 (t-t_2)^2 - \nu_1 \nu_2 (t_2-t_1)(t-t_2)^2 \right],$$

где для поляризаций (2.21б)

$$\begin{aligned} I_Q^{\text{I} \rightarrow \text{II}\bar{\text{II}}} &= i(\zeta + \gamma) - 4\alpha^2 t^3 \nu_1 \nu_2 (t_2-t_1)^2 (\nu_1 t_1^2 + \nu_2 (t-t_2)^2), \\ I_Q^{(0)\text{I} \rightarrow \text{II}\bar{\text{II}}} &= -2i t_2^2 e^{i\varphi_0}; \\ I_Q^{\text{I} \rightarrow \text{II}} &= i[\delta t_1(t-t_2) - \zeta + \gamma] - \frac{\alpha^2 t^3}{2} \left\{ 2\nu_1 \nu_2 (t_1-t_2)[(t_1-t_2+1)(2t_2-\zeta) + \right. \\ &\quad \left. \zeta + 2(t_1+t_2-\zeta)(\nu_1-\nu_2)] + (\zeta+\gamma)[2\nu_1 \nu_2 (t_2-t_1)(t_1-t_2+1) + \right. \\ &\quad \left. \nu_1 \nu_2] \right\}, \\ I_Q^{(0)\text{I} \rightarrow \text{II}} &= -2i t_2^2 \left[e^{i\varphi_0} - \nu_1 e^{i\nu_1^2 \varphi_0} - \nu_2 e^{i\nu_2^2 \varphi_0} \right]. \end{aligned} \quad (3.8)$$

В (3.7), (3.8) использованы обозначения

$$\nu_{1(2)} = \frac{1}{\omega} \omega_{1(2)}, \quad \gamma = \nu_1 (t-2t_1)^2 + \nu_2 (t-2t_2)^2,$$

$$\gamma_{1(2)} = 2 \left[\nu_{1(2)} (t_1-t_2)(t_1-t_2+1) + t_{2(1)} (t-t_{2(1)}) \right] \quad (3.9)$$

$$\varphi_0 = -\frac{\alpha^2 t^3}{3} t_2^2 (t-t_2)^2.$$

Третья амплитуда следует из (3.7), (3.8) в соответствии с (2.15):

$$T_Q^{\text{II} \rightarrow \text{I}\bar{\text{II}}} = T_Q^{\text{I} \rightarrow \text{II}\bar{\text{II}}} (\omega \leftrightarrow -\omega_L) \quad (3.10)$$

Другое представление квазиклассических амплитуд получено в [5]. Полученные здесь выражения для T_Q , на наш взгляд, являются более компактными. При $\alpha \ll 1$ имеем из (3.5)–(3.10) известные выражения (см. [1–5] ср. также с (2.26))

$$T_Q^{I \rightarrow II\bar{I}} = T_Q^{\bar{I} \rightarrow I\bar{I}} = \frac{13e^3 m}{315\pi^2} \alpha e^3 v_1 v_2 , \quad (3.II)$$

$$T_Q^{I \rightarrow II\bar{I}} = \frac{24e^3 m}{315\pi^2} \alpha e^3 v_1 v_2$$

При $\alpha \gg 1$ асимптотики амплитуд T_Q согласуются с полученными в [5].

Амплитуды (3.7)-(3.10) вычислялись численно в области $\alpha \geq 1$, где их величина достигает максимального значения. На рис.2,3,4 приведены графики величины $|T|^2/\omega$ для переходов $I \rightarrow II\bar{I}$, $I \rightarrow I\bar{I}\bar{I}$, для которых распределение по v симметрично при замене $v_1 \leftrightarrow v_2$, и для перехода $II\bar{I} \rightarrow I\bar{I}\bar{I}$, где такой симметрии нет. Величина $|T|^2/\omega$ отложена в единицах $\xi = \frac{4\alpha^3 e E}{\pi m}$. Наборы частот, для которых построены графики, приведены в подписях к рисункам. Если значение параметра α в точке максимума указанной величины обозначить через α_m , то $\alpha_m \approx 80$ для $I \rightarrow II\bar{I}$, $\alpha_m \approx 30$ для $I \rightarrow I\bar{I}\bar{I}$ и $\alpha_m \approx 200$ для $II\bar{I} \rightarrow I\bar{I}\bar{I}$. Видно, что вероятность перехода $II\bar{I} \rightarrow I\bar{I}\bar{I}$ всегда мала по сравнению с остальными, а в области своего максимума доминирует переход $I \rightarrow II\bar{I}$. Заметим еще, что выход на асимптотический режим при $\alpha \gg 1$ всех приведенных амплитуд происходит крайне плавно, так что асимптотики оказываются применимыми только при очень больших значениях параметра α .

Величину $|T|^2/\omega$ следует подставить в формулу (3.2). Для нахождения вероятности процесса необходимо знать еще функцию $S(L)$ (3.3). Для нахождения ее следует прежде всего найти β и γ (3.3), т.е. вещественную и мнимую часть показателя преломления (см.(2.23)). В общем случае следует использовать результаты, полученные в [10]. В квазиклассическом приближении выражения для показателя преломления содержатся в [8] (ср. также [15]):

$$n_{I,\bar{I}}^2 = 1 + \frac{\alpha}{12\pi} \left(\frac{eE}{m^2} \right)^2 \mathcal{J}_{I,\bar{I}} \quad (3.I2)$$

где

$$\mathcal{J}_{I,\bar{I}} = - \int_0^\infty ds \sigma_{I,\bar{I}} \int_0^\infty ds s \exp \left(-i \left[s + \frac{\alpha^2 f s^3}{48} \right] \right) \quad (3.I3)$$

$$\alpha_I = f(2 - \frac{f}{2}), \alpha_{\bar{I}} = f(2 + f), f = 1 - \alpha^2$$

При $\alpha \ll 1$ имеем (см.[1, 8]):

$$\mathcal{J}_I = \frac{16}{15}, \mathcal{J}_{\bar{I}} = \frac{28}{15} \quad (3.I4)$$

а при $\alpha \gg 1$ функции $\mathcal{J}_{I,\bar{I}}$ падают (см.[8])

$$\mathcal{J}_{I,\bar{I}} = \frac{c_0}{\alpha^{4/3}} e^{-\frac{2i\pi}{3} \beta_{I,\bar{I}}}, \quad (3.I5)$$

$$\beta_I = 2, \beta_{\bar{I}} = 3, c_0 = \frac{4 \cdot 6^{2/3} \Gamma^2(2/3)}{\pi} \frac{1}{\Gamma(7/6)} \approx 6,6$$

Графики вещественной и мнимой частей функций $\mathcal{J}_{I,\bar{I}}$ приведены на рис.5. Вычислив показатель преломления (3.12) получаем β и γ (3.3), после чего можно найти $S(L)$ при любых значениях параметров, выбор которых диктуется условиями эксперимента. Заметим, что β и γ зависят от $v_{L(2)}$

Полезно рассмотреть область $\gamma L \gg 1$, которая дает оценку вероятности расщепления сверху (относительно реалистических условий эксперимента). В этой области $S(L)$ дается элементарной формулой (3.4). Особенно просто провести анализ при $\alpha \gg 1$. В этом случае

$$\gamma_{I \rightarrow II\bar{I}} = \frac{\sqrt{3} \alpha}{12\pi} c_0 \frac{eE}{m} \frac{1}{\alpha^{4/3}} \left[1 + \frac{3}{2} \left(v_1^{-1/3} + v_2^{-1/3} \right) \right] \quad (3.I6)$$

с ростом α γ падает: $\gamma \propto \alpha^{-1/3}$. Поскольку в этой области $|T|^2/\omega \propto \alpha^{-1/3}$, то $dW(L)(3.2)$ стремится к конечному пределу при асимптотически больших значениях $\alpha \gg 1$. Этот результат нетрудно понять: действительно, длина, на которой фотон еще не поглотился в силу рождения пар растет $\propto \alpha^{1/3}$ и за счет этого эффективного удлинения области, где идет процесс расщепления фотона, вероятность $W(L)$ оказывается (как функция энергии) константой:

$$W_{I \rightarrow II\bar{I}}(L) \approx 0,15 \frac{\alpha^2}{\pi^2}, W_{I \rightarrow I\bar{I}\bar{I}}(L) \approx 0,024 \frac{\alpha^2}{\pi^2} \quad (3.I7)$$

IV. Заключение

Как отмечалось во введении, при $\vartheta_0 \ll \frac{V_0}{m}$ процесс фоторождения пары в полях осей (или плоскостей) можно рассматривать в приближении постоянного (по длине формирования) поля. Это означает, что процесс разыгрывается на данном расстоянии от оси Ω (для определенности ниже обсуждается осевой случай). Поле оси $E=0$ при $\varphi=0$ достигает максимального значения при $\varphi \sim u_1$ (u_1 - амплитуда тепловых колебаний) и затем падает. Поэтому для получения вероятности в монокристалле необходимо провести интегрирование $S^{-1} S d^2 \varphi W(\varphi)$, где S - площадь поперечного сечения, приходящегося на одну ось. При $\vartheta_0 \gg \frac{V_0}{m}$ имеет место когерентное рождение пар, т.е. применимо борновское приближение. Развита общая теория рождения пар, применимая при любых углах ϑ_0 и переходящая в пределах в упомянутые выше случаи [16, 17].

Зависимость от угла влета фотона вероятности расщепления фотона в обсуждаемой квазиклассической области ($E/E_0 \ll 1$) совершенно аналогична описанной выше для вероятности фоторождения пар. Следовательно, при $\vartheta_0 \ll \frac{V_0}{m}$ применимы формулы, полученные в разделе III. Область применимости борновского приближения обсуждалась в [18].

Рассмотрим возможность наблюдения расщепления фотона в монокристаллах. Следует иметь в виду, что в отличие от случая магнитного поля, где при $\alpha \ll 1$ процесс расщепления фотона может являться доминирующим (фоторождение пар подылено экспоненциально) и для наблюдения его достаточно было бы взять достаточно большие пробеги, в монокристаллах наряду с рождением пар в поле осей идет также процесс фоторождения пар на отдельных ядрах (механизм Бете-Гайтлера). Поэтому при постановке эксперимента по расщеплению фотонов в монокристаллах следует учитывать следующие обстоятельства: 1. Длина пробега фотонов должна не превышать радиационную длину (не учитывая технических сложностей, связанных с изготовлением больших монокристаллов). 2. Эксперимент будет ставиться в условиях поглощения (т.е. надо использовать формулы (3.2), (3.3)), основной процесс поглощения - фоторождение пар в поле осей (или по механизму Бете-Гайтлера). 3. В этих условиях нужно учитывать, вообще говоря, все амплитуды процесса. 4. Для получения максимальной величины эф-

фекта необходимо ставить эксперимент при энергии, где величина $W_{\gamma \rightarrow \gamma \gamma}$ лежит вблизи своего максимального значения (напомним, что при этом доминирует переход $\Gamma \rightarrow \text{II.II}$). 5. Основным фоновым процессом будет излучение фотонов частицами родившейся пары $\gamma \rightarrow e^+ e^- \rightarrow e^+ \gamma e^- \gamma$ в случае, когда фотоны уносят почти всю энергию частиц. Для подавления этого фона также необходимо брать пробег фотона в кристалле меньше радиационной длины. 6. Радиационная длина при движении электронов и фотонов вблизи кристаллических осей при обсуждаемых энергиях в 10-100 раз меньше (в зависимости от вещества и оси), чем в соответствующем аморфном веществе [16, 17]. Так же как в случае рождения пар наряду с расщеплением фотона в поле оси будет идти также расщепление фотона на отдельных ядрах /9/, вероятность которого мы обозначим $W_{\text{ядро}}$. Отношение $\gamma^{Y \rightarrow Y} \frac{W_{\text{ядро}}}{W_{\text{поле}}} / \gamma^{Y \rightarrow Y}$ может существенно превышать 1 только в области максимума $W_{\text{ядро}}$. Так что и с этой точки зрения эффект можно выделить только в этой области. 8. В области максимума величины $|T|^2/\omega$ параметр $\alpha \gg 1$. При этом, как видно из Рис.5, $\gamma^{Y \rightarrow Y} \gg R_{\text{ядро}}$. Нетрудно видеть, что при выполнении этих условий и для $\gamma L \ll 1$ (поглощение фотона мало) в (3.2), (3.3) функция $\zeta(L)=L$, и тогда $dW(L)/L$ есть стандартная вероятность. Заметим, что в этом предельном случае выражение для вероятности процесса не содержит ϑ -функции. 9. Для получения конкретных оценок мы использовали потенциал оси в форме принятой в [II, 16, 17]. Расчет проводился для вольфрама (ось $\langle \text{III} \rangle, T = 77^\circ\text{K}$) при энергии $\omega = 400$ ГэВ. При этом условии $\gamma^{Y \rightarrow Y} \approx 2.3$, но при увеличении энергии $\gamma^{Y \rightarrow Y}$ в вольфраме может превышать 2. В других веществах, например в германии (при энергии, соответствующему максимуму вероятности $|T|^2/\omega$) величина $\gamma^{Y \rightarrow Y}$ может превышать 10. При указанных условиях $W_{\text{ядро}}/W_{\text{поле}} \approx 0.3 \alpha^2/\pi^2$, отметим, что $W_{\text{ядро}}$ в вольфраме превышает вероятность рождения пар на отдельных ядрах в 10 раз.

Л и т е р а т у р а

1. В.Б.Берестецкий, Е.М.Лифшиц, Л.П.Питаевский. Квантовая электродинамика, Наука, Москва, 1980.
2. Z.Bialynicka-Birula, I.Bialynicki-Birula. Phys. Rev. 1970, D2, 2341.
3. S.L.Adler, J.N.Bahcall, C.G.Callan, M.N.Rosenbluth. Phys. Rev. Lett. 1970, 25, 1061.
4. S.L.Adler. Ann. of Phys. 1971, 67, 599.
5. В.О.Папанян, В.И.Ритус. ЖЭТФ, 1971, 61, 2231.
6. В.О.Папанян, В.И.Ритус. ЖЭТФ, 1973, 65, 1756.
7. J.Schwinger. Phys. Rev. 1951, 82, 664.
8. В.Н.Байер, В.М.Катков, В.С.Фадин. Излучение релятивистских электронов, Атомиздат, 1973.
9. V.N.Baier, V.S.Fadin, V.M.Katkov, E.A.Kuraev. Phys. Lett. 1974, 49B, 385.
10. В.Н.Байер, В.М.Катков, В.М.Страховенко. ЖЭТФ, 1975, 68, 405.
- II. V.N.Baier, V.M.Katkov, V.M.Strakhovenko. Phys. Lett. 1984, 104A, 231.
- I2. A.Belcacem, G.Bologna, M.Chevallier et al. Phys. Rev. Lett. 1984, 53, 2371; erratum 1985, 54, 852.
- I3. И.А.Баталин, А.Е.Шабад. ЖЭТФ, 1971, 60, 894.
- I4. В.Н.Байер, В.М.Катков, В.М.Страховенко ЖЭТФ, 1974, 67, 453.
- I5. V.I.Ritus. Ann. of Phys. 1972, 69, 555.
- I6. V.N.Baier, V.M.Katkov and V.M.Strakhovenko. Phys. Lett. 1985, 109A, 179.
- I7. В.Н.Байер, В.М.Катков, В.М.Страховенко. Препринт ИЯФ 85-79, Новосибирск, 1985.
- I8. С.М.Дарибян, К.А.Испиран. Материалы XI У Всеесоюзного совещания по физике взаимодействия заряженных частиц. Издательство МГУ, 1985, стр.III.

Подпись к рисункам

Рис.1. Диаграмма расщепления фотона во внешнем электромагнитном поле.

Рис.2. Величина $|T|^2/\omega$ для перехода I \rightarrow II в единицах

$$\xi = \frac{4\alpha^3 e E}{\pi m} . \text{Кривая 1 для } \gamma_1 = \gamma_2 = 0,5, \text{ кривая 2 для } \gamma_1 = 0,35, \gamma_2 = 0,65; \text{ кривая 3 для } \gamma_1 = 0,2, \gamma_2 = 0,8.$$

Рис.3 То же, что на рис.2 для перехода I \rightarrow III.

Рис.4. То же, что на рис.2 для перехода II \rightarrow III.

Рис.5. Графики функций $\mathcal{Y}_{I,\bar{I}}$, кривая 1 - $Re \mathcal{Y}_{I,\bar{I}}$, кривая 2 - $Re \mathcal{Y}_{\bar{I},I}$, кривая 3 - $Im \mathcal{Y}_{I,\bar{I}}$, кривая 4 - $Im \mathcal{Y}_{\bar{I},I}$.

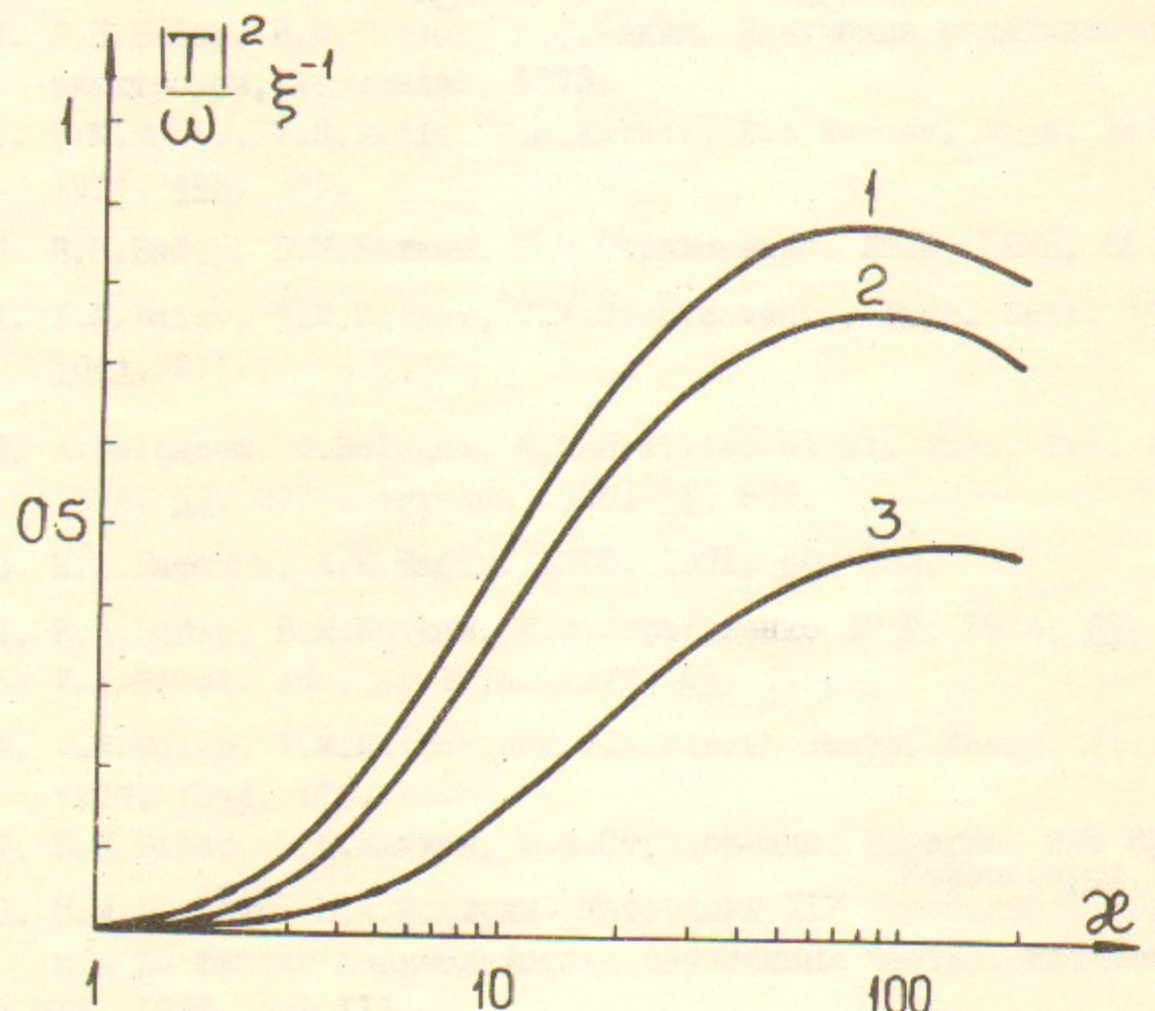
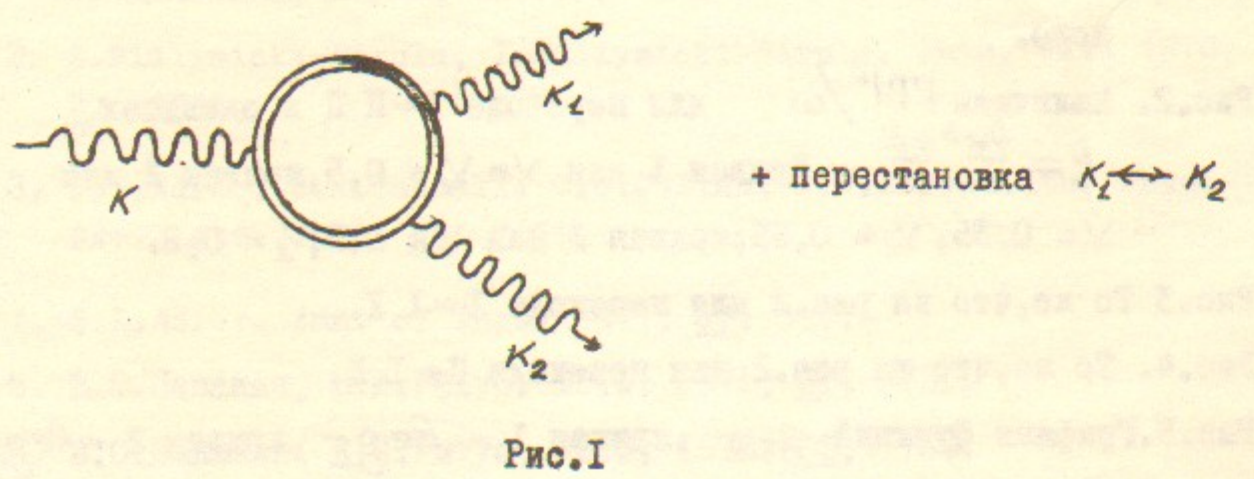
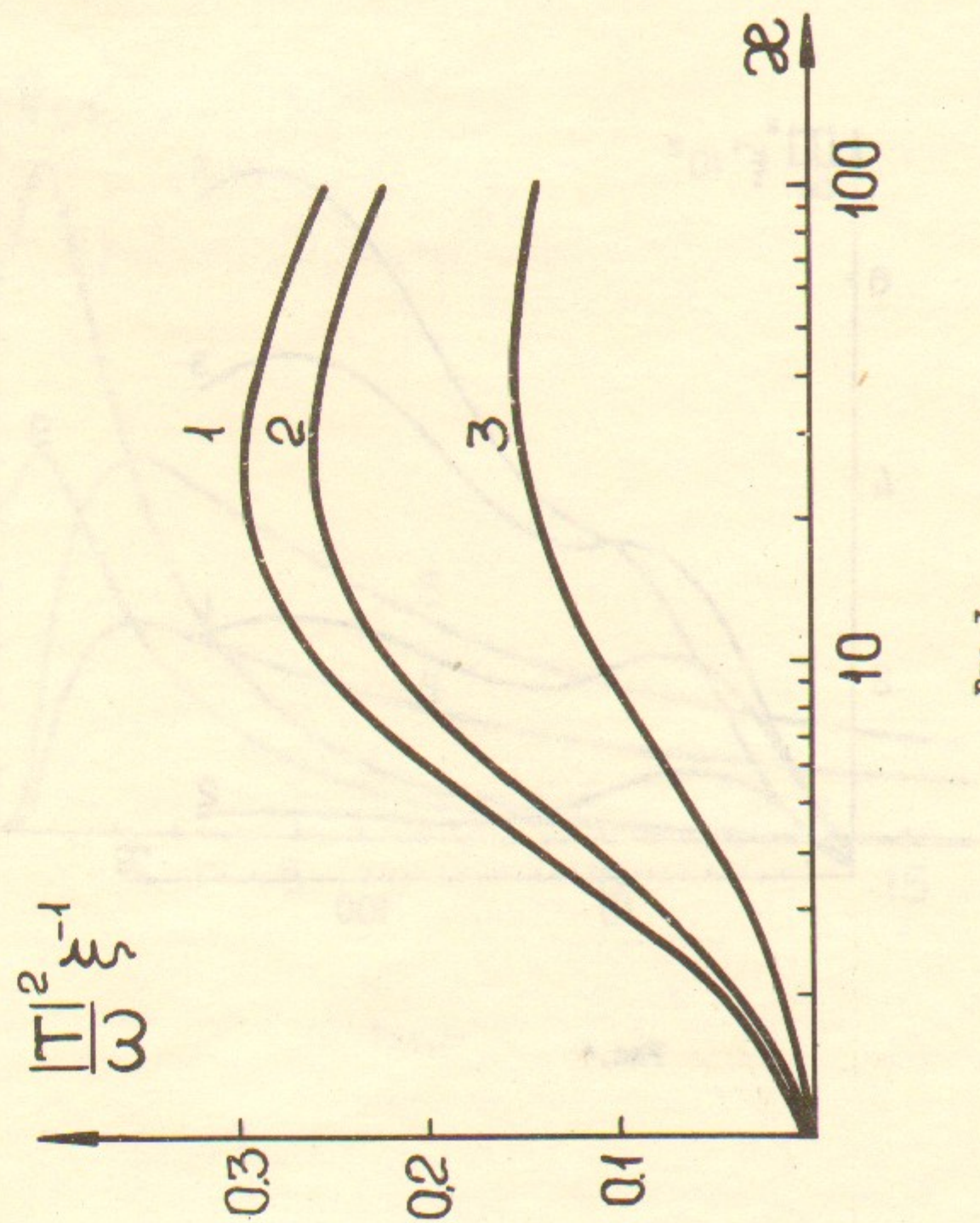


Рис. 2



23

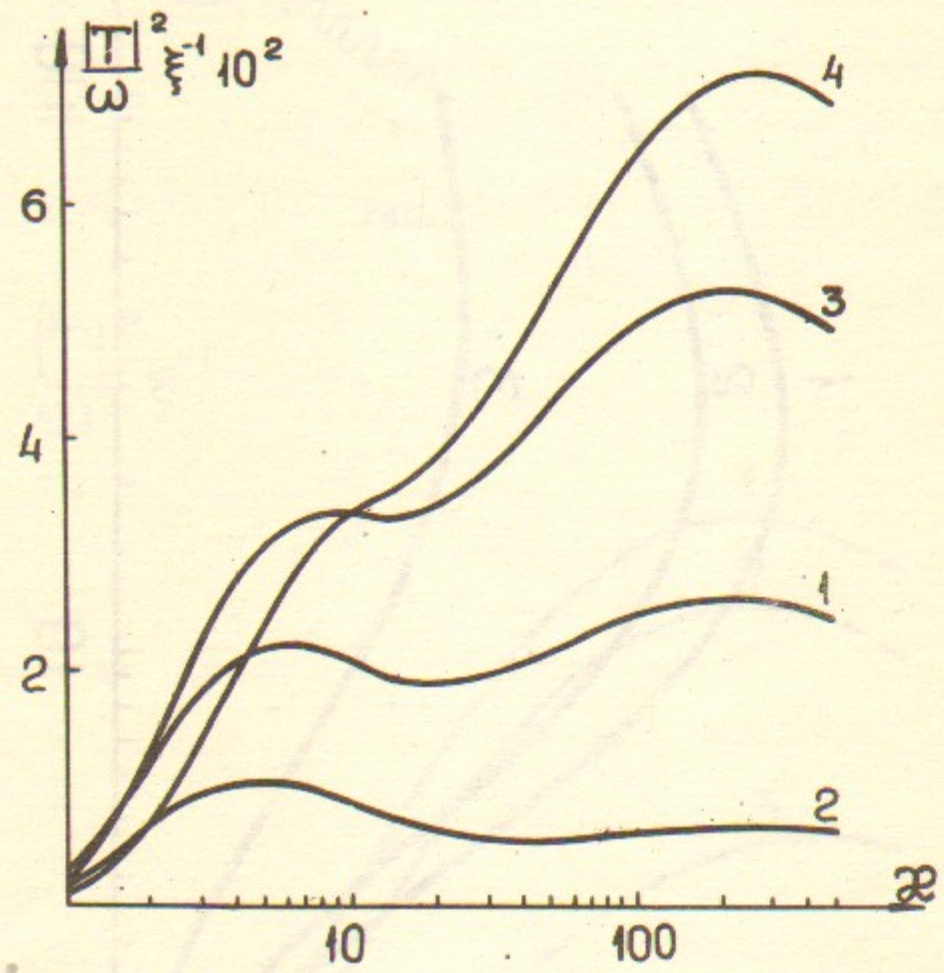


Рис.4

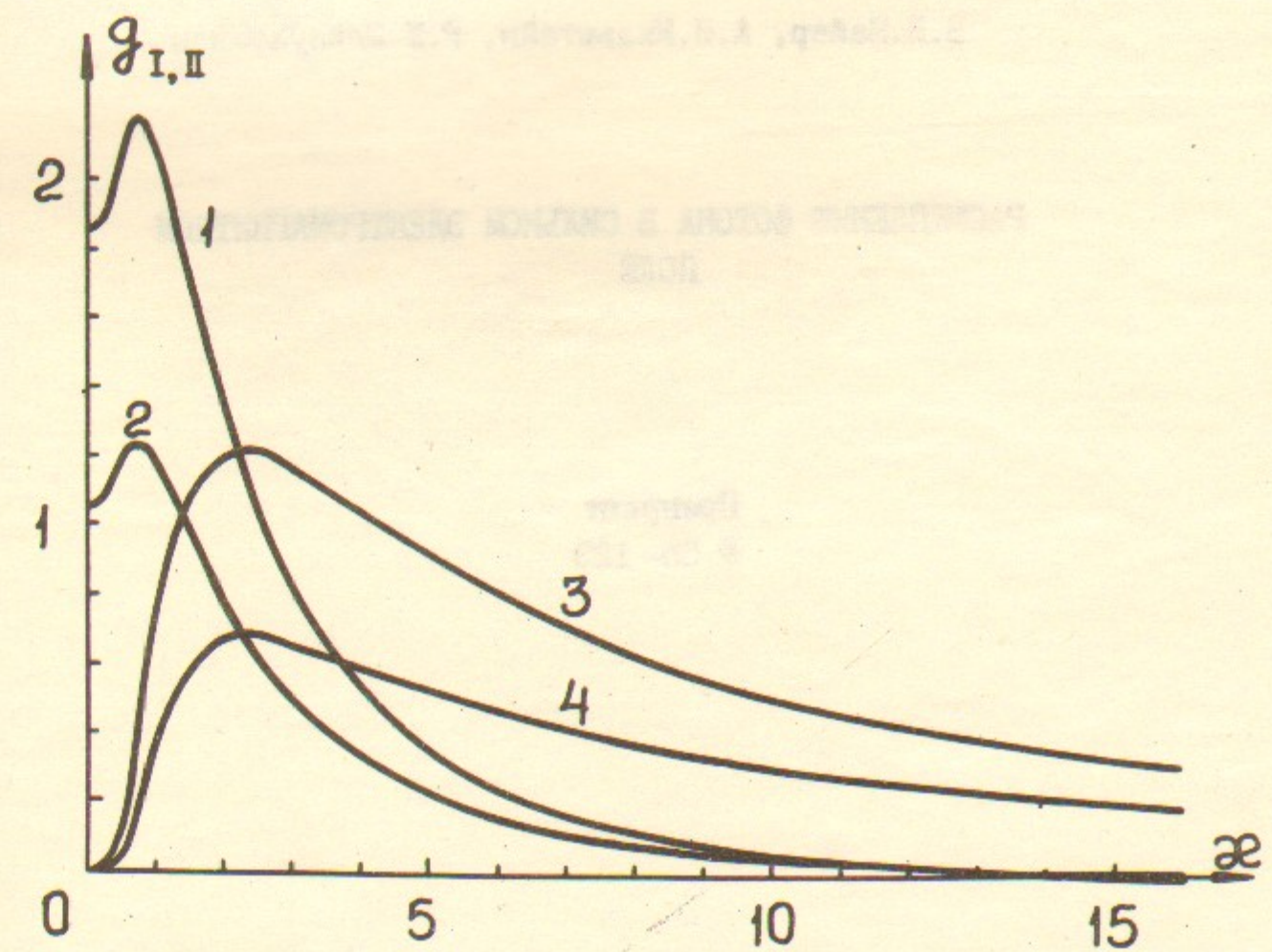


Рис.5

В.Н.Байер, А.И.Мильштейн, Р.Ж.Шайсултанов

РАСЩЕПЛЕНИЕ ФОТОНА В СИЛЬНОМ ЭЛЕКТРОМАГНИТНОМ
ПОЛЕ

Препринт
№ 85- I23

Работа поступила - 1 июля 1985 г.

Ответственный за выпуск - С.Г.Попов

Подписано к печати 9.09-1985 г. МН 0673I

Формат бумаги 60x90 I/16 Усл.1,8 печ.л., 1,5 учетно-изд.л.

Тираж 290 экз. Бесплатно. Заказ №I23.

Ротапринт ИЯФ СО АН СССР, г.Новосибирск, 90